

1/N-РАЗЛОЖЕНИЕ ДЛЯ ЗАДАЧИ ТРЕХ ТЕЛ

СЕРГЕЕВ А. В.

ГОСУДАРСТВЕННЫЙ ОПТИЧЕСКИЙ ИНСТИТУТ им. С. И. ВАВИЛОВА

(Поступила в редакцию 6 января 1989 г.)

Разложение по степеням $1/N$, где N – размерность пространства, используется для расчета энергии связанных состояний квантовомеханической системы трех частиц. Доказано, что предел $N \rightarrow \infty$ соответствует классическому движению жесткой конфигурации частиц в четырехмерном пространстве. Результаты суммирования ряда по $1/N$ обсуждаются на примерах ангармонического осциллятора, мезоатома $\mu\alpha$ и экранированного гелия.

1. Введение

Исходная задача спачала обобщается на случай пространства переменной размерности N . В пределе $N \rightarrow \infty$ частицы образуют стабильную жесткую конфигурацию. Квантовые колебания вокруг равновесной конфигурации описываются теорией возмущений по степеням $1/N$. В окончательные формулы, выведенные в пределе больших N , подставляется физическая размерность $N=3$, что часто дает хорошее приближение к исходной теории.

Впервые $1/N$ -разложение для задачи трех тел было развито в работе [1] применительно к обобщенным гелиевым гамильтонианам. Методом, основанным на представлении Гольштейна – Примакова для псевдоспиновой алгебры, в [1] найдены первые три члена $1/N$ -разложения. В [2] сообщалось о вычислении более простым методом семи коэффициентов $1/N$ -разложения для гелия и гелиеподобных ионов, что позволило определить энергию с точностью до 3–4 знаков. Позднее в [3] сходным методом вычислено 11 коэффициентов для гелия. Различным аспектам $1/N$ -разложения для задачи трех тел посвящены также работы [4–8], однако там рассматривались только низшие порядки разложения и преимущественно гелиеподобные системы.

В настоящей работе впервые установлено, что предел $N \rightarrow \infty$ отвечает классическому движению жесткой треугольной конфигурации частиц в четырехмерном пространстве. Для вычисления коэффициентов $1/N$ -разложения высокого порядка используется тот же подход, что и в [2, 3]. В качестве примеров рассмотрены трехчастичный ангармонический осциллятор, мезоатом $\mu\alpha$ и экранированный атом гелия. В двух последних случаях результаты суммирования $1/N$ -разложения согласуются с результатами более точных вариационных расчетов.

2. Описание метода

Рассмотрим систему частиц с массами m_1, m_2, m_3 , взаимодействующих посредством потенциала $F(r_{23}, r_{31}, r_{12})$ в пространстве размерности $N_0=3$, где r_{ij} – расстояние между частицами i и j . Введем

$$U(s_{23}, s_{31}, s_{12}) = N_0^2 V(N_0^2 s_{23}, N_0^2 s_{31}, N_0^2 s_{12}). \quad (1a)$$

Обобщенный N -мерный потенциал будем полагать равным

$$V_N(r_{23}, r_{31}, r_{12}) = N^{-2} U(N^{-2} r_{23}, N^{-2} r_{31}, N^{-2} r_{12}). \quad (1b)$$

Очевидно, что $V_{N_0}=V$.

Ограничимся здесь рассмотрением S -состояний, или таких состояний,

волновая функция которых зависит только от расстояний между частицами. Действие N -мерного оператора кинетической энергии на волновую функцию S -состояния можно записать в виде

$$T_N \psi(r_{23}, r_{31}, r_{12}) = \left[T - \frac{N-3}{2} \sum_{i=1}^3 \left(\frac{1}{m_i} + \frac{1}{m_k} \right) \frac{1}{r_{ik}} \frac{\partial}{\partial r_{ik}} \right] \psi, \quad (2)$$

$$T = -\frac{1}{4} \sum_{i=1}^3 \frac{1}{m_i} \left[\left(\frac{\partial}{\partial r_{ij}} + \frac{\partial}{\partial r_{ki}} \right) (1 + \cos \theta_i) \left(\frac{\partial}{\partial r_{ij}} + \frac{\partial}{\partial r_{ki}} \right) + \right. \\ \left. + \left(\frac{\partial}{\partial r_{ij}} - \frac{\partial}{\partial r_{ki}} \right) (1 - \cos \theta_i) \left(\frac{\partial}{\partial r_{ij}} - \frac{\partial}{\partial r_{ki}} \right) \right],$$

где j, k таковы, что (i, j, k) образует четную перестановку тройки чисел $(1, 2, 3)$, $\cos \theta_i = (r_{ij}^2 + r_{ki}^2 - r_{jk}^2) / (2r_{ij}r_{ki})^{-1}$. Используется система единиц, где $\hbar = 1$.

Преобразование $\Phi = S_\Delta^{(N-3)/2} \psi$, где S_Δ — площадь треугольника со сторонами r_{23}, r_{31}, r_{12} , убирает из (2) слагаемые, линейные по производным. N -мерное уравнение Шредингера с потенциалом V_N приводится к виду

$$(T + V_N + (N-3)^2 U_C - E) \Phi = 0, \quad (3)$$

где

$$U_C = \frac{1}{8} \sum_{i=1}^3 \frac{1}{m_i h_i^2},$$

$h_i = 2S_\Delta/r_{jk}$ — высота треугольника, E — энергия. Слагаемое в (3), содержащее потенциал U_C , аналогично центробежному члену $(N-1)(N-3)/(8mr^2)$ для одной частицы в сферически-симметричном поле.

Произведем масштабное преобразование $r_{ij} = N^2 s_{ij}$ и запишем (3) в виде

$$(N^{-2} T + U_{eff} + (-6N^{-1} + 9N^{-2}) U_C - \varepsilon) Y = 0, \quad (4)$$

где $Y(s_{23}, s_{31}, s_{12}) = \Phi(r_{23}, r_{31}, r_{12})$, $U_{eff} = U + U_C$ — эффективный потенциал, $\varepsilon = N^2 E$ — приведенная энергия. Параметр N^{-1} входит в коэффициенты вторых производных в уравнении (4) таким же образом, как и постоянная Планка.

Предположим, что эффективный потенциал имеет минимум. Тогда, как можно показать, энергия разлагается в ряд по степеням $1/N$:

$$\varepsilon = \sum_{k=0}^{\infty} \varepsilon_k N^{-k}. \quad (5)$$

В классическом пределе $N \rightarrow \infty$ волновая функция Y локализуется в окрестности минимума U_{eff} , а энергия становится равной ε_0 — минимуму U_{eff} .

В приближении гармонического осциллятора функция $U_{eff} - \varepsilon_0$ в окрестности минимума приближается квадратичной формой от величин, характеризующих отклонение координат от точки равновесия. Из уравнения (4) находим $\varepsilon_1 = \varepsilon_{osc} - 6U_C$, где U_C берется в точке минимума U_{eff} ,

$$\varepsilon_{osc} = \sum_{i=1}^3 \left(p_i^2 + \frac{1}{2} \right) \omega_i$$

— энергия гармонического осциллятора с частотами ω_i в состоянии с квантовыми числами p_i ($i = 1, 2, 3$).

Более высокие коэффициенты разложения ($\varepsilon_2, \varepsilon_3, \varepsilon_4$ и т. д.) представляют собой ангармонические поправки. Для их вычисления существует рекуррентная процедура, которая описана в [3] для атома гелия. В на-

стоящей работе для потенциала общего вида применяется сходная процедура, которая здесь не приводится из-за весьма громоздких формул.

3. Предел $N \rightarrow \infty$ и классическая механика

Рассмотрим классическое движение двух взаимодействующих частиц в центральном поле, т. е. ограничимся здесь случаем $m_3 = \infty$. Точно также, как движение одной частицы в центральном поле происходит в одной плоскости, движение двух частиц происходит в пределах одного четырехмерного пространства (или пространства меньшей размерности), которое натянуто на радиусы-векторы частиц \mathbf{r} и \mathbf{s} и векторы импульсов \mathbf{p} и \mathbf{q} в какой-либо момент времени.

В четырехмерном пространстве из компонент тензора момента импульса

$$L_{ij} = r_i p_j - r_j p_i + s_i q_j - s_j q_i$$

можно составить два сохраняющихся инварианта

$$L^2 = {}^4 L_{ij} L_{ij}, \quad M = {}^4 L_{ij} \bar{L}_{ij},$$

где $\bar{L}_{ij} = {}^1/2 \varepsilon_{ijkl} L_{kl}$, ε_{ijkl} — тензор, антисимметричный по всем индексам и такой, что $\varepsilon_{1234} = 1$. Следующие неотрицательные инварианты выражаются через L^2 и M :

$$K_{\pm}^2 = {}^4 L_{ij} (\bar{L}_{ij} \pm L_{ij}) (L_{ij} \pm \bar{L}_{ij}) = L^2 \pm M \geq 0,$$

откуда следует, что M заключено в пределах $-L^2 \leq M \leq L^2$. Инвариант M можно записать в виде определителя

$$M = {}^4 \varepsilon_{ijkl} r_i p_j s_k q_l.$$

Очевидно, что при $M=0$ движение частиц становится трехмерным. В противоположном крайнем случае, когда $M=\pm L^2$ и движение «до предела» четырехмерно, $K_{\pm}^2=0$, откуда $L_{ij} = \pm \bar{L}_{ij}$ для любых i, j .

Опишем теперь классическое движение частиц, при котором расстояния между частицами и силовым центром и между самими частицами (соответственно r, s и t) сохраняются. Такое четырехмерное движение частиц будет соответствовать статическому решению задачи в переменных r, s, t , когда $r=r^{(0)}, s=s^{(0)}, t=|\mathbf{r}-\mathbf{s}|=t^{(0)}$, а $(r^{(0)}, s^{(0)}, t^{(0)})$ — минимум эффективного потенциала, который возникает в квантовой задаче в пределе $N \rightarrow \infty$ и включает центробежный член

$$V_c(r, s, t) = (N^2/8) (1/m_1 h_1^2 + 1/m_2 h_2^2),$$

где $h_1 = 2S_\Delta/s, h_2 = 2S_\Delta/r, S_\Delta = r_1 s_2 - r_2 s_1$.

Зададим $L=N/2$ и $M=L^2$. Введем оси 1, 2 подвижной системы координат в плоскости треугольника, оси 3, 4 — в ортогональном дополнении к ней. При вращении осей 3, 4 компоненты L_{13} и L_{14} преобразуются подобно компонентам двумерного вектора, поэтому всегда можно достигнуть, чтобы $L_{14}=0$. С учетом того, что $L_{ij}=\bar{L}_{ij}$, единственными ненулевыми компонентами тензора момента импульса будут

$$L_{13} = L_{42} = -L_{31} = -L_{24} = N/2$$

и будут справедливы уравнения

$$r_1 p_3 + s_1 q_3 = L_{13} = L, \quad r_2 p_3 + s_2 q_3 = L_{23} = 0, \quad (6a)$$

$$r_1 p_4 + s_1 q_4 = L_{41} = 0, \quad r_2 p_4 + s_2 q_4 = L_{24} = -L. \quad (6b)$$

Подставляя решение уравнений (6) относительно неизвестных p_3, q_3, p_4, q_4 в формулу для кинетической энергии, находим

$$T = (p_1^2 + p_2^2)/2m_1 + (q_1^2 + q_2^2)/2m_2 + V_c(r, s, t).$$

Зададим в начальный момент времени импульсы и координаты частиц так, чтобы

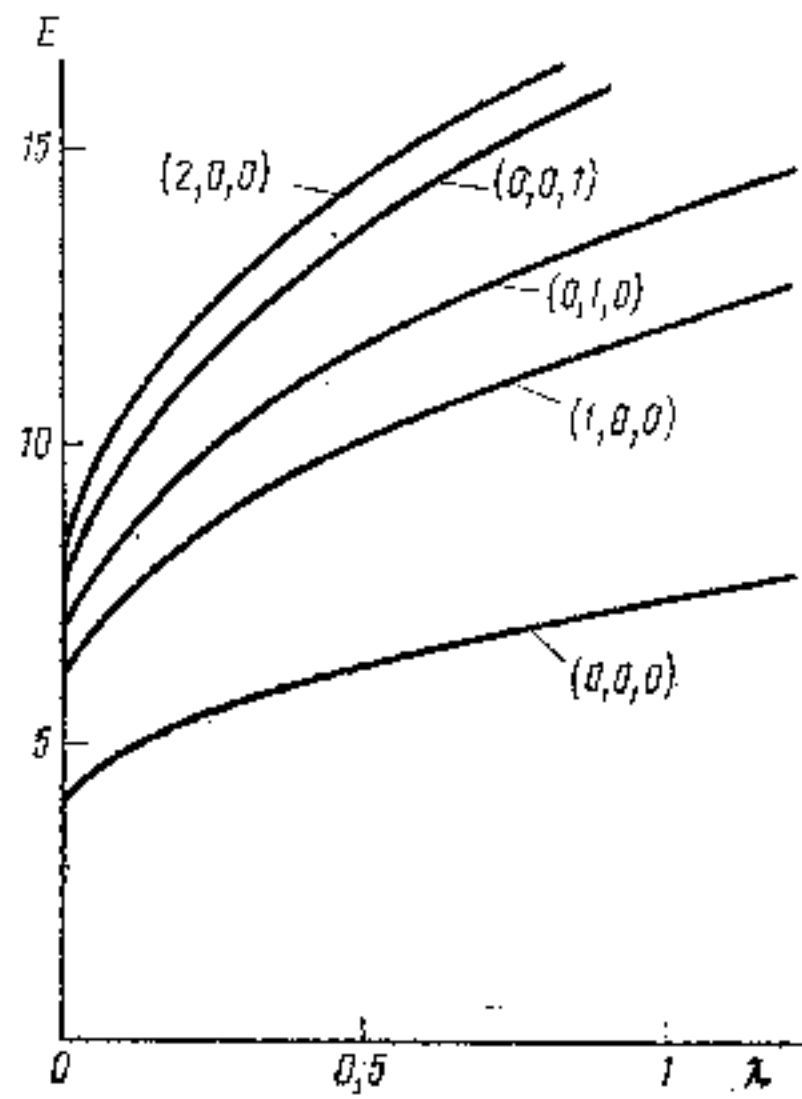
$$p_1 = p_2 = q_1 = q_2 = 0, \quad r = r^{(0)}, \quad s = s^{(0)}, \quad t = t^{(0)}. \quad (7)$$

Тогда полная энергия совпадает с минимумом эффективного потенциала $V + V_c$, а, поскольку она сохраняется, условия (7) будут выполняться в любой момент времени. В этом случае расстояния r, s, t сохраняются.

4. Примеры 1 / N-разложения

4.1. Ангармонический осциллятор

Здесь рассматривается ангармонический осциллятор с массами частиц $m_1=m_2=1, m_3=\infty$ и одинаковыми парными потенциалами взаимодействия $\sigma(r_{ij})=r_{ij}^{-2}/2+\lambda r_{ij}^{-4}$, дающими в сумме потенциал V . На рисунке изображены



Уровни энергии трехчастичного ангармонического осциллятора в зависимости от параметра ангармоничности

При больших λ в потенциале доминируют слагаемые λr_{ij}^{-4} . В случае, когда $v=r_{ij}^{-4}$, расчеты выявили неожиданное соотношение между частотами:

$$\omega_1 : \omega_2 : \omega_3 = 1 : 1,419 : 2,003 \approx \sqrt{2} : 2.$$

Следовательно, при больших N состояния с одинаковой суммой $2p_3+p_1$ имеют весьма близкие энергии и для них 1/N-разложение перестает хорошо работать из-за сильной расходности. Выпишем энергии нескольких низколежащих состояний для случая $v=r_{ij}^{-4}$:

$$E(0, 0, 0) = 6,417, \quad E(1, 0, 0) = 10,73, \quad E(0, 1, 0) = 12,51.$$

$$E(0, 0, 1) = 15, \quad E(2, 0, 0) \approx E(0, 0, 1).$$

Приводятся только те десятичные знаки, которые совпадают у аппроксимант [3/3], [3/4], [4/4] и являются надежными.

4.2. Мезоатом $\mu\alpha$

Рассматривается основное состояние мезоатома $\mu\alpha$ ($m_1=m_2=205,769, m_3=7293,4$).

Чтобы учесть полюс второго порядка у энергии при $N=1$ [4], будем вести разложение по $1/(N-1)$:

$$E' = (N-1)^{-2} \sum_{k=0}^{\infty} \varepsilon_k' (N-1)^{-k},$$

δ	[2/1] (δ)	[4/4]	Вариационный расчет [12]	δ	[2/1] (δ)	[4/4]	Вариационный расчет [12]
0	-2,90372	-2,9039	-2,90372	0,6	-1,449	-1,4563	-1,45856
0,2	-2,34682	-2,3467	-2,34700	0,8	-1,086	-1,106	-1,11033
0,4	-1,8661	-1,8673	-1,86845	1,0	-0,77	-0,804	-0,81821

где E' – энергия для N -мерной задачи с потенциалом V_N' , определяемым по формулам (1) с заменой $N_0 \rightarrow N_0 - 1$ и $N \rightarrow N - 1$. Соответствующие аппроксиманты следующие:

[0/0]'	[3/4]'	[4/4]'	[4/5]'	Вариационный расчет [9]
-549,2	-584,5	-583,05	-583,1	-583,044

Как видно, они хорошо согласуются с вариационным расчетом [9]. В кулоновском случае $V_N = V_N' = V$ и $E = E'$, поэтому коэффициенты e_k и e_k' взаимосвязаны.

Два члена $1/N$ -разложения для мезоатома $\mu\alpha$ были недавно получены в [8], однако коэффициент $e_1' = -651,1$ отличается от результата настоящей работы ($e_1' = -481,4$) и, по-видимому, ошибочен.

4.3. Экранированный атом гелия

Рассмотрим систему трех частиц с массами $m_1 = m_2 = 1$, $m_3 = \infty$, взаимодействующих между собой посредством потенциала Юкавы:

$$V(r_1, r_2, r_{12}) = -\frac{2}{r_1} \exp(-\delta r_1) - \frac{2}{r_2} \exp(-\delta r_2) + \frac{1}{r_{12}} \exp(-\delta r_{12}). \quad (8)$$

Так же как и для одной частицы в потенциале Юкавы [10], здесь можно использовать теорию возмущений по степеням параметра экранирования δ :

$$E = \sum_{k=0}^{\infty} E^{(k)} \delta^k.$$

Невозмущенная энергия, $E^{(0)} = -2,903724$, является энергией основного состояния гелия. Так как $\partial V / \partial \delta = 3$ при $\delta = 0$, то $E^{(1)} = 3$. Следующие два коэффициента выражаются через средние значения, вычисленные в [11]:

$$E^{(2)} = \frac{1}{2} (\langle r_{12} \rangle - 4 \langle r_1 \rangle) = -1,147909,$$

$$E^{(3)} = -\frac{1}{6} (\langle r_{12}^2 \rangle - 4 \langle r_1^2 \rangle) = 0,3762487.$$

Результаты расчета [2/1] (δ) приведены во втором столбце таблицы.

В таблице даны также результаты суммирования разложения по $1/(N-1)$. При $\delta \geq 0,3$ они лучше согласуются с вариационным расчетом [12] (четвертый столбец таблицы), чем результаты разложения по δ . Отметим, что эффективный потенциал экранированного гелия имеет минимум, отвечающий равнобедренной конфигурации частиц, при $\delta < \delta_* \approx 1,2554$.

Известно [13], что энергия основного состояния при $N=5$ совпадает с энергией возбужденного состояния $(2p)^2 {}^3P$ в реальном трехмерном пространстве. Соответствующие результаты для экранированного гелия:

δ	0	0,05	0,1	0,15	0,2	0,25
[4/4]'	-0,710505	-0,56969	-0,44596	-0,33784	-0,24434	-0,16450

При $\delta = 0$ приближенный результат совпадает с точным (-0,710500 из работы [14]) до пяти знаков после запятой.

5. Заключение

Описан метод получения коэффициентов $1/N$ -разложения для широкого класса аналитических потенциалов. Тот факт, что для задачи двух тел предел $N \rightarrow \infty$ отвечает вращению тел вокруг общего центра масс, обобщен на менее тривиальный случай задачи трех тел. Испытание метода на нескольких модельных примерах показало его эффективность как для основного, так и для некоторых возбужденных состояний.

Автор выражает благодарность А. И. Шерстюку, Е. А. Соловьеву и В. С. Попову за полезные обсуждения.

Литература

1. *Mlodinow L. D., Papanicolaou N.* // Ann. Phys. 1981. V. 131. P. 1.
2. *Сергеев А. В.* // Всесоюз. конф. по теории атомов и атомных спектров. Тез. докл. Минск: БГУ, 1983. С. 66.
3. *Goodson D. Z., Herschbach D. R.* // Phys. Rev. Lett. 1987. V. 58. P. 1628.
4. *Doren D. J., Herschbach D. R.* // Chem. Phys. Lett. 1985. V. 118. P. 115.
5. *Doren D. J., Herschbach D. R.* // J. Chem. Phys. 1986. V. 85. P. 4557.
6. *Van der Merwe P. du T.* // J. Chem. Phys. 1984. V. 81. P. 5976.
7. *Van der Merwe P. du T.* // Phys. Rev. 1986. V. D33. P. 3383.
8. *Van der Merwe P. du T.* // Phys. Rev. 1988. V. A38. P. 1187.
9. *Адамов М. Н., Демков Ю. Н., Филиппский А. В.* // Вестн. ЛГУ. Физика, химия. 1983. № 4. С. 73.
10. *Сергеев А. В., Шерстюк А. И.* // ЯФ. 1984. Т. 39. С. 1158.
11. *Pekeris C. L.* // Phys. Rev. 1959. V. 115. P. 1216.
12. *Hashino T. et al.* // Phys. Lett. 1987. V. A123. P. 236.
13. *Herrick D. R., Stillinger F. H.* // Phys. Rev. 1975. V. A11. P. 42.
14. *Middal J.* // Phys. Rev. 1965. V. 138. P. A1010.

THE $1/N$ EXPANSION FOR THREE-BODY PROBLEM

SERGEEV A. V.

The expansion in powers of $1/N$ (N is the dimension of the space) is used for calculating the energy of the bound states of a quantum-mechanical three-body system. The limit $N \rightarrow \infty$ is proved to correspond to the classical motion of a rigid configuration of particles in the four dimensional space. The results of summing the $1/N$ power series are discussed using as examples the anharmonical oscillator, the mesoatom $\mu\alpha$, and screened helium.